

3.3 Block spin - Transformationen

Divergenz der Korrelationslänge am kritischen Punkt

\Rightarrow Verlust der Referenzskala / Skaleninvarianz

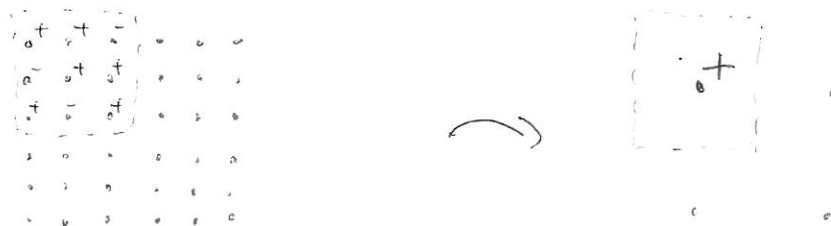
\Rightarrow "Selbstähnlichkeit" auf allen Skalen

\Rightarrow „Spin-Konfigurationen sehen gleich aus, egal mit welcher Auflösung ich sie betrachte“

Idee: Betrachte System unter Änderung der "Auflösung"

\Rightarrow "coarse-graining" Prozedur (Kadanoff)

z.B. mit Mehrheitsregel:



$d=2$: „aus 9 mach 1“

Am kritischen Punkt haben die Konfigurationen auf dem grobkörnigen Gitter die gleichen Eigenschaften wie auf dem feinen. statistisch

Block spin - Trafo

Zustandssumme

$$\mathcal{Z} = \text{Tr } e^{-\mathcal{H}(S)}$$

reduz. Hamiltonian
 $\mathcal{H} = \frac{1}{kT} H$

Def. Projektionsoperator vom Spins \bar{s}_i auf feinem Gitter auf Spins s_i' auf grobkörnigem Gitter

$$T(s', s) \quad \text{mit}$$

(3.30)

$$\sum_{\bar{s}_i} T(s', \bar{s}_i) = 1 \quad (\text{Vollständigkeit})$$

$$\left(\sum_{\bar{s}_i} T(s'', \bar{s}_i) T(s', \bar{s}_i) = T^{(2)}(s'', s') \right)$$

Z.B. Mehrheitsregel im $d=2$

$$1. \text{ Block} \quad T_1(s'_1; s_1, \dots, s_g) = \begin{cases} 1 & \text{für } s'_1 \sum_{i=2}^g s_i > 0 \\ 0 & \text{sonst} \end{cases} \quad (3.31)$$

ebenso alle anderen Blocks

$$T = \prod_{\text{blocks } i} T_i$$

\Rightarrow geblockter Hamiltonian

$$e^{-\mathcal{H}'(s')} = \text{Tr}_{\bar{s}} T(s', \bar{s}) e^{-\mathcal{H}(s)} \quad (3.32)$$

$$\Rightarrow Z = \text{Tr}_{\bar{s}} e^{-\mathcal{H}(s)} = \text{Tr}_{\bar{s}'} e^{-\mathcal{H}'(s')} \quad (3.33)$$

Zustandssumme für geblocktes System bleibt gleich.

\Rightarrow "langzeitwirksame" Physik und thermodynamische Größen sind invariant unter Trafo $\mathcal{H} \rightarrow \mathcal{H}'$

Hamiltonian \hat{H} $\hat{\equiv}$ Vektor von Kopplungen $\{K\} = (K_1, K_2, \dots)$
im "theory space"

Block-Spin-Trafo $\hat{\equiv}$ Abbildung von $\{K\} \rightarrow \{K'\}$ im "theory space"

$$\{K'\} = R\{K\} \quad (3.34)$$

Renormierungsgruppen Transformation

Beachte: Im Allgemeinen werden unter R beliebig viele Kopplungen K' ($\neq 0$) erzeugt, selbst wenn \hat{H} ursprünglich nur endlich viele $K \neq 0$ hatte (z.B. nur Nächste-Nachbar-WW).

Beispiel: 1d Ising Modell $\mathcal{H} = -K \sum_j \sigma_j \sigma_{j+1}$

Wähle $T_1(\sigma'_1; \sigma_1, \sigma_2, \sigma_3) = \delta_{\sigma'_1 \sigma_2}$

$$\begin{array}{c|ccc|cc|} \sigma & \sigma & \sigma & \sigma & \sigma & \sigma \\ \hline \sigma_1 & \sigma_2 & \sigma_3 & \sigma_4 & \sigma_5 & \sigma_6 \end{array}$$

(Dezimierung, ok im $d=1$)

Z.B. Summation über σ_3, σ_4 in \mathbb{Z} :

$$\text{Faktor} = e^{K \sigma_2 \sigma_3} e^{K \sigma_3 \sigma_4} e^{K \sigma_4 \sigma_5}$$

$$I = e^{K \sigma'_1 \sigma_3} e^{K \sigma_3 \sigma_4} e^{K \sigma_4 \sigma'_2} \quad (3.35)$$

$$\text{es gilt: } e^{\frac{K\beta_3\beta_4}{2}} = \cosh K\beta_3\beta_4 + \sinh K\beta_3\beta_4 \\ = \cosh K\beta_3\beta_4 (1 + \tanh K\beta_3\beta_4)$$

$$\overset{\beta_3\beta_4 = \pm 1}{=} \cosh K \underbrace{(1 + x\beta_3\beta_4)}_{x = \tanh K}, \quad (3.36)$$

$$\Rightarrow \text{Faktor} = (\cosh K)^3 (1 + x\beta_1'\beta_3) (1 + x\beta_3\beta_4) (1 + x\beta_4\beta_2') \quad (3.37)$$

Summe über β_3, β_4 : nur gerade Potenzen bleiben übrig:

$$\Rightarrow \text{Faktor} = 2^2 (\cosh K)^3 (1 + x^3\beta_1'\beta_2') \\ = 2^2 \left(\frac{\cosh^3 K}{\cosh K'} \right) \cosh K' (1 + x^3\beta_1'\beta_2') \\ = 2^2 \left(\frac{\cosh^3 K}{\cosh K} \right) e^{K'\beta_1'\beta_2'} \quad (3.38)$$

$$\text{mit } \overline{x' = x^3} \quad , \tanh K' = \tanh^3 K \quad (3.39)$$

\Rightarrow Zustandssumme:

$$Z = \text{Tr}_{\beta'} e^{-\mathcal{H}'(\beta')}$$

$$\text{mit } \mathcal{H}'(\beta') = N g(K) - K' \sum_j \beta_j' \beta_{j+1}' \quad (3.40)$$

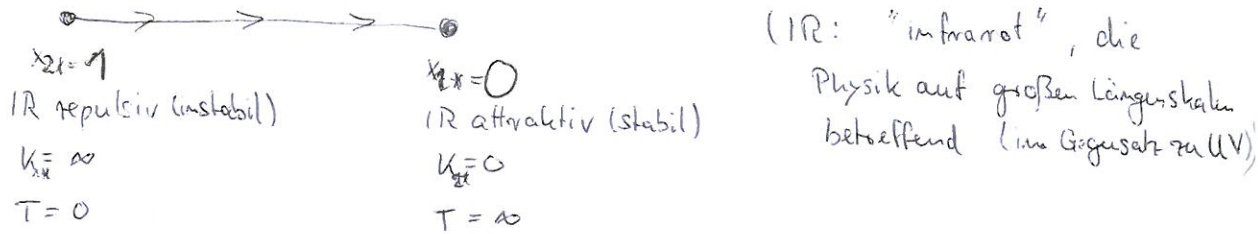
$$\text{und } g(K) = -\frac{1}{3} \ln 2^2 \frac{\cosh^3 K}{\cosh K'} \text{ unabh. von } \beta' \\ (\text{Beitrag der Fluktuationen kurzer Wellenlänge zu freien Energie; trägt nicht zu Erwartungswerten bei}) \quad (3.41)$$

Inhalt der RG Trafo :

$$(3.39) : \quad x' = x^3 \quad (\text{RG Gleichung}) \quad (3.42)$$

($K \sim \frac{1}{T}$, $x = \tanh K \Rightarrow \text{high } T : x \rightarrow 0^+ ; \text{ low } T : x \rightarrow 1^-$)

2 Fixpunkte : $x_{1*} = 0$, $x_{2*} = 1$



\Rightarrow falls mikroskopisch $0 < x < 1$ $\Rightarrow x \rightarrow 0$ makroskopisch (im IR)
Hochtemperaturphase, paramagnetisch

falls $x = 1$ mikroskopisch $\Rightarrow x = 1$ makroskopisch (im IR), ferromagnetisch

$\underline{T_c = 0}$ (kein richtiger Phasenübergang im $d=1$)

(NB: Allgemein beobachtet man ein "Verschwinden von Ordnung" unter Verkleinerung der Dimensionalität eines Systems.
Die Dimension d_c , für die ein Phasenübergang in einem System mit bestimmter Symmetrie (Universitätsklasse) verschwindet, heißt untere kritische Dimension.)

Ising Modell mit diskreter (kontinuierlicher) Symmetrie-
 $d_c = 1$ ($d_c = 2$))

Korrelationslänge :

Def. dim'lose Korrelationslänge : $\tilde{\xi} = \frac{\xi}{a}$ bzw. $\tilde{\xi}' = \frac{\xi'}{a'}$
immer gemessen im aktuellen Gitterabstand (einzige Skala)

nahe bei T_c : $\xi \gg a$ \Rightarrow bleibt invariant unter einer Blockspin-Trafo: $\tilde{\xi}' = \xi$

$$\Rightarrow \frac{\tilde{\xi}'(x)}{a} = \frac{\xi'(x')}{a} = \frac{\xi'(x')}{3a} = \frac{1}{3} \quad \frac{\xi(x)}{a} = \frac{1}{3} \tilde{\xi} \text{ mit } x' = x^3$$

$$\Rightarrow \frac{\tilde{\xi}(x)}{a} = \frac{\text{const.}}{\ln x} = \frac{\text{const.}}{\ln \tanh K} \quad (\text{vgl. 3.27}) \quad (3.43)$$

$$\sim e^{\frac{\text{const.}}{T}} \quad \rightarrow \infty \text{ für } T \rightarrow T_c = 0$$

Beispiel: Ising Modell in höheren Dimensionen, allgem. Betrachtungen

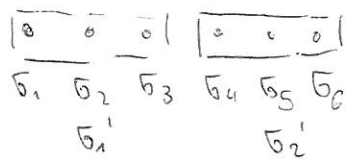
(NB: Blockspin-Trafo's als analytische Methode sind technisch zunehmend unhandlich (besser: Impulsraumtechniken vgl. späte), aber geeignet für allgemeine qualitative Betrachtungen)

$$\text{In d=1: } x' = x^3 \Rightarrow \tanh K' = \tanh^3 K$$

$$K, K' \rightarrow \infty : (1 - 2e^{-2K'} + \dots) \approx (1 - 6e^{-2K} + \dots)$$

$$\Rightarrow K' \approx K - \text{const.} \quad (3.44)$$

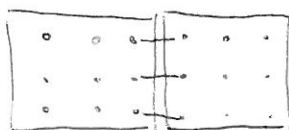
Grund: für $K \rightarrow \infty, T \rightarrow 0$ sind die Spins im den Blöcken alle nahezu gleich ausgerichtet



Wechselwirkung wird durch Randspins $5_3, 5_4$ vermittelt:

$$\text{z.B. } K' = K \langle 5_3 \rangle_{5_1'=1} \langle 5_4 \rangle_{5_2'=1} \xrightarrow{T \rightarrow 0^+} K \quad (3.45)$$

In $d=2$:



WW wird vermittelt durch $b=3$ nächste Nachbarn pro Block

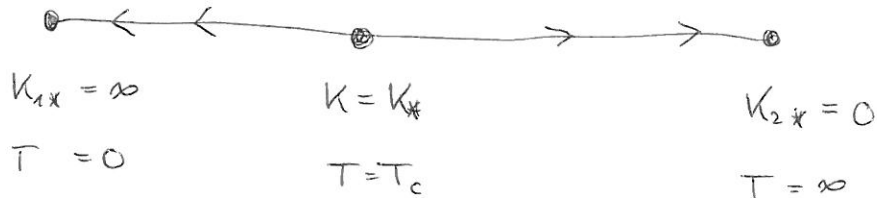
$$\Rightarrow K' \sim 3K \quad \text{für } K \rightarrow \infty$$

allgemein: in d Dimensionen mit Blockspin-Skalierung b

erwarten wir $\underline{K' \sim b^{d-1} K \quad \text{für } K \rightarrow \infty}$ (3.46)

$$\Rightarrow K' > K \quad \text{für } d \geq 1 \quad \text{und } K \rightarrow \infty$$

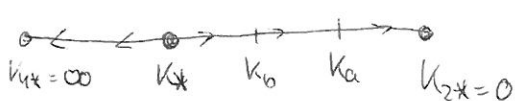
\Rightarrow Fixpunkt K_{\star} für $K_{1\star} = \infty$ ist IR attraktiv, d.h. stabil!



Darum für $T \rightarrow \infty$ wieder eine paramagnetische Phase mit stabilem Fixpunkt $K_{2\star} = 0$ erwarten, muß bei endlichem $K = K_{\star}, T = T_c$ ein instabiler Fixpunkt existieren.

Korrelationslänge: $\tilde{\xi}'(k') = \frac{1}{b} \tilde{\xi}(k) \quad \Leftrightarrow \tilde{\xi}(k) = b \tilde{\xi}'(k')$

Betrachte zwu Kopplungswerte $0 < K_a < K_b < K_{\star}$ mit $\tilde{\xi}(K_a) = \tilde{\xi}_a = 0(1)$



$(K_b \rightarrow K_a)$ verknüpft durch
 $M_{K_b K_a}$ RG Trafos

$$\Rightarrow \tilde{\xi}(K_b) = b^{M_{K_b K_a}} \tilde{\xi}_a$$

Im Limes $K_b \rightarrow K_*$ wird $\eta_{K_b K_a}$ beliebig groß

$$\lim_{K_b \rightarrow K_*} \eta_{K_b K_a} \rightarrow \infty$$

$$\Rightarrow \lim_{K_b \rightarrow K_*} \tilde{\xi}(K_b) \rightarrow \infty \quad \begin{array}{l} \text{Korrelationslänge} \\ \text{divergiert!} \end{array} \quad (3.47)$$

instabiler Fixpunkt K_* beschreibt einen kritischen Punkt!

Kritische Exponenten: (Beispiel \rightarrow)

Zusammenhang K' , K : RG Trefo

$$K' = R(K) \quad (3.48)$$

Fixpunkt: $K_* = R(K_*)$ (3.49)

Fixpunkt-Regime: $(K - K^*)$ klein

$$\begin{aligned} K' &\simeq R(K_*) + (K - K_*) R'(K_*) + \dots \\ &= K_* + b^\Theta (K - K_*) + \dots \end{aligned} \quad (3.50)$$

mit $\Theta := \frac{\ln R'(K_*)}{\ln b}$

(RG Eigenwert
auch "kritischer Exponent"
abuse of language)

Kritischer Exponent ν :

$$\begin{aligned} \tilde{\xi}(k) &\stackrel{(3.10)}{\sim} |t|^{-\nu} \sim \left| \frac{T - T_c}{T_c} \right|^{-\nu} \sim \left| 1 - \frac{T}{T_c} \right|^{-\nu} \\ &\sim \left| 1 - \frac{k_*}{k} \right|^{-\nu} \sim |k - k_*|^{-\nu} \end{aligned} \quad (3.51)$$

Mit $\tilde{\xi}(k) = b \tilde{\xi}'(k')$ folgt:

$$\begin{aligned} A \underset{\substack{\uparrow \\ \text{const}}}{(k - k_*)^{-\nu}} &= b A \underset{(3.50)}{(k' - k_*)^{-\nu}} = b A \left[b^\theta (k - k_*) \right]^{-\nu} \\ \Rightarrow \underbrace{|}_{\nu = \frac{1}{\theta}} & \quad || \end{aligned} \quad (3.52)$$

\Rightarrow kritische Exponenten ergeben sich aus Ableitungen
der RG Transformation am Fixpunkt (gilt allgemein)